## 结直肠癌患者社会疏离的潜在剖面分析及护理启示

杨晓霞 于子夫 王芳 侯亚丽 朱礼敬 吕利明

【摘要】目的 分析结直肠癌患者社会疏离的潜在类别,并探讨不同类别的影响因素及风险因素的累积效应,以期 为实施个体化干预提供参考。方法 采用便利抽样法,选取2023年1—6月在山东省3所三级甲等医院胃肠外科、肿 瘤科住院的结直肠癌患者作为调查对象。使用一般资料调查表、社交回避量表、社交焦虑量表、加利福尼亚洛杉矶分 校孤独感量表、心理一致感量表、家庭亲密度量表、社会支持评定量表进行问卷调查。采用潜在剖面分析、多元 Logistic回归分析进行分析。 结果 发放问卷292份,回收有效问卷270份,有效问卷回收率为92.47%。结直肠癌患者 社会疏离可分为3个潜在类别:低疏离组(42.59%)、高疏离-高社交回避组(14.08%)、中等疏离-高社交焦虑组 (43.33%)。Logistic回归分析结果显示,工作状况、造口情况、是否转移、心理一致感、家庭亲密度、社会支持是不同潜 在类别的影响因素,且心理一致感、家庭亲密度和社会支持对不同类别的影响存在累积效应(P<0.05)。 结论 结直 肠癌患者社会疏离存在群体异质性,医护人员应识别不同患者的特征差异,重点关注存在多个风险因素的患者,以 制订针对性的干预措施,帮助其更好地融入社会。

【关键词】 结直肠癌患者; 社会疏离; 潜在剖面分析; 累积效应; 影响因素分析; 护理

Latent profile analysis and nursing implications of social alienation in colorectal cancer patients/YANG Xiaoxia, YU Zifu, WANG Fang, HOU Yali, ZHU Lijing, LÜ Liming

[Abstract] Objective To analyze the latent classes of social alienation in colorectal cancer patients and further explore the influencing factors and cumulative effects of risk factors across different classes, thereby providing a reference for individualized interventions. Methods Convenience sampling was used to select colorectal cancer patients hospitalized in the gastrointestinal surgery and oncology departments of 3 tertiary-level hospitals in Shandong Province from January to June 2023 as the study subjects. A questionnaire survey was conducted using the General Information Questionnaire, Social Avoidance Scale, Social Anxiety Scale, UCLA Loneliness Scale, Sense of Coherence Scale, Family Cohesion Scale, and Social Support Rating Scale. Data analysis was performed using latent profile analysis and multivariate logistic regression analysis. Results A total of 292 questionnaires were distributed, with 270 valid responses collected, yielding a response rate of 92.47%. The results of the latent profile analysis indicated that social alienation among colorectal cancer patients could be categorized into 3 latent groups; the "low alienation group" (42.59%), the "high alienation-high social avoidance group" (14.08%), and the "moderate alienation-high social anxiety group" (43.33%). Results of logistic regression analysis revealed that employment status, stoma status, metastasis, sense of coherence, family cohesion, and social support were influencing factors across different categories. Moreover, a cumulative effect of sense of coherence, family cohesion, and social support on distinct categories was observed (P<0.05). Conclusion Social alienation among colorectal cancer patients exhibits group heterogeneity. Healthcare professionals should identify the characteristic differences among patients prioritise those with multiple risk factors, and develop targeted intervention measures to help them better integrate into society.

[Key words] Colorectal Cancer Patients; Social Alienation; Latent Profile Analysis; Cumulative Effect; Root Cause Analysis; Nursing Care

结直肠癌是消化系统常见的恶性肿瘤,预计到 例约320万例[1]。随着医疗水平的不断进步,患者的 2040年,全球结直肠癌疾病负担将增长63%,新增病 5年生存率不断提高,然而他们在经历癌症诊断和

DOI: 10.3761/j.issn.0254-1769.2025.20.010

作者单位:250000 济南市 山东第一医科大学附属省立医院眼科(杨晓霞,王芳),口腔颌面外科(侯亚丽),妇科(朱礼敬);山东省疾病预防控 制中心(于子夫);山东中医药大学护理学院(吕利明)

通信作者: 吕利明, E-mail: liminglv1@163.com

杨晓霞:女,硕士,护师,E-mail:yangxiaoxia\_0611@163.com

2025-02-17收稿

一系列治疗后,一方面承受着疼痛、疲劳、胃肠功能 紊乱等生理上的不适和痛苦[2],另一方面也面临着 身体意向改变、重返工作岗位及角色调试困难等社 会心理上的挑战[3],极易产生焦虑、抑郁及病耻感等 负性情绪,导致其在社交活动中趋向选择自我封闭 和退缩,出现社会疏离。这种疏离状态不仅会影响身 心健康,增加癌症死亡风险,还会加重家庭和社会的 照顾负担[4]。近年来学者们对结直肠癌患者社会疏 离进行了研究[5-6],但主要依据量表得分高低来评估 其社会疏离程度,未能深入剖析个体间的差异,且 主要考察单个影响因素对社会疏离的独立影响,忽 略了不同类别之间影响因素的差异性以及各影响 因素之间的累积效应, 从而影响了干预策略的针 对性。因此,本研究采用潜在剖面分析(latent profile analysis,LPA)分析结直肠癌患者社会疏离的 潜在类别,探讨其影响因素,并以生态系统理论为依 据,采用累积风险模型分析心理一致感、家庭亲密 度、社会支持对不同类别影响的累积效应,以期为医 护人员制订针对性的干预方案提供依据。

#### 1 对象与方法

#### 1.1 调查对象

采用便利抽样法,于2023年1-6月选取在山东 省3所三级甲等医院胃肠外科、肿瘤科住院的结直肠 癌患者作为调查对象。纳入标准:①年龄≥18岁; ②病理学诊断为原发性结肠癌或直肠癌,已完成手 术或放化疗等抗肿瘤治疗;③能正确理解问卷并配 合调查。排除标准:①伴有其他严重合并症:②有精 神病史及人格障碍;③正在参与其他研究。采用描述 性研究样本量计算公式 $N=[U\alpha\times\sigma/\delta]^{2[7]}$ ,查阅相关文 献[6] $\sigma$ =0.82,取 $\alpha$ =0.05, $\delta$ =0.12,计算样本量为179例, 考虑到10%~20%的失访率和抽样误差,样本量至少 为198例。本研究已通过医院伦理委员会批准 (SWYX:NO.2023-150),调查对象均知情同意并自 愿参与本研究。

#### 1.2 调查工具

#### 1.2.1 一般资料调查表

由研究者自行设计,包括年龄、性别、婚姻状况、 受教育程度、家庭居住地、工作状况、家庭人均月收 人、医疗费用支付方式、疾病诊断、治疗方式、造口情 况、是否转移。

#### 1.2.2 社会疏离调查表

本研究基于社会疏离内涵,采用能反映社会疏 离个体主观感受和客观行为改变的社交回避量表、 社交焦虑量表与加利福尼亚洛杉矶分校孤独感量表 对结直肠癌患者的社会疏离状况进行调查[8]。

#### 1.2.2.1 社交回避量表

社交回避量表(Social Avoidance Scale)由Watson等编制,由王向东等汉化,为社交回避及苦恼量 表的分量表,用于测量回避社交的倾向[9]。量表共 14个条目,每个条目回答"是"计0分,回答"否"计1分, 总分为0~14分,分值越高,代表患者越倾向于回避 社交活动。量表的Cronbach's α系数为0.87,重测信 度为0.68[9]。

#### 1.2.2.2 社交焦虑量表

社交焦虑量表(Social Anxiety Subscale, SAS)由 Fenigstein等编制,由王向东等汉化,用于测量主观 焦虑、语言表达和行为障碍[9]。量表共6个条目,各 条目采用Likert 5级评分法,0~4分依次代表"非常不 相符"至"非常相符",总分为0~24分,分值越高,表 示社交焦虑越严重。量表的Cronbach's α系数为 0.79,重测信度为0.77[9]。

#### 1.2.2.3 加利福尼亚洛杉矶分校孤独感量表

加利福尼亚洛杉矶分校孤独感量表由Russell 等编制,由王向东等汉化,主要测量因对社交的期望 与现实存在落差而导致的孤独感[9]。量表共20个条 目,各条目采用Likert 4级评分法,1~4分依次表示 "从不"至"一直",总分为20~80分,分值越高,代表 孤独感越重。量表的Cronbach's α系数为0.94,重测 信度为0.73[9]。

#### 1.2.3 心理一致感量表

心理一致感量表(Sense of Coherence Scale-13. SOC-13)由包蕾萍等[10]汉化,包含可理解感、可控制 感和有意义感3个维度,共13个条目,各条目采用 Likert 7级评分法,1~7分依次表示"非常频繁"至"从来 没有",总分为13~91分。中文版SOC-13的Cronbach's  $\alpha$ 系数为0.76,重测信度为0.61<sup>[10]</sup>。

#### 1.2.4 家庭亲密度量表

该量表为家庭亲密度和适应性量表(Family Adaptability and Cohesion Evaluation Scales, FACES Ⅱ-CV)的家庭亲密度分量表,由费立鹏等[11]汉化, 共16个条目,每个条目采用Likert 5级评分,1~5分依 次代表"不是"至"总是",总分为16~80分,分值越 高,代表家庭亲密度越高。中文版家庭亲密度分量表

的Cronbach's α系数为0.85. 重测信度为0.84<sup>[9]</sup>。

#### 1.2.5 社会支持评定量表

社会支持评定量表(Social Support Rating Scale, SSRS)由肖水源[12]编制,包含主观支持、客观支持和 支持利用度3个维度,共10个条目,条目6和7为多选计 分,其余条目为单项计分,选项依次对应1~4分,总 分为12~66分,得分越高代表社会支持水平越好。量 表的Cronbach's  $\alpha$ 系数为0.90,重测信度为0.92。

#### 1.3 资料收集与质量控制方法

调查前对调查者统一培训,发放问卷前使用规 定指导语向患者说明研究目的、意义及填写要求,获 得知情同意后对其实施一对一的纸质版问卷调查。 填写过程中如有疑问,由调查者进行客观解答,若 患者不能独立完成问卷,则依据患者口述回答如实 代其填写。调查结束后,双人核查并录入数据,剔除 规律作答、答题逻辑明显有误等无效问卷。

#### 1.4 统计学方法

使用Mplus 8.3软件进行潜在剖面分析,从单类 别模型开始逐步增加模型数,根据各类别模型拟合 指标并结合临床实际,选取最佳拟合模型。模型拟合 指标如下。①艾凯克信息准则(Akaike information criteria, AIC)、贝叶斯信息准则(Bayesian information criteria, BIC)和样本校正的BIC(sample size adjusted BIC, aBIC) 值越小表示模型拟合越好;②信息熵取 值为0~1,越接近1代表分类越精确;③罗-梦戴尔-鲁本校正似然比检验(Lo-Mendell-Rubin test,LMRT) 和基于Bootstrap的似然比检验(Bootstrap likelihood ratio test, BLRT), 当P<0.05表明k个类别模型优于k-1个类别模型。使用SPSS 26.0软件进行统计学分析。 符合正态分布的计量资料以均数±标准差表示,计 数资料以频数、百分比或百分率表示。组间比较采用 方差分析、x²检验或Kruskal-Wallis H检验。采用多元 Logistic回归分析探讨社会疏离潜在类别的影响因 素及风险因素的累积效应。以P<0.05为差异具有统 计学意义。

#### 2 结果

#### 2.1 调查对象的一般资料

本研究共发放292份问卷,回收有效问卷270份, 有效问卷回收率为92.47%。调查对象的一般资料 见表1。

#### 2.2 结直肠癌患者社会疏离的潜在剖面分析

结直肠癌患者的社交回避量表得分为(6.09± 3.70)分,社交焦虑量表得分为(10.44±5.43)分,加利福 尼亚洛杉矶分校孤独感量表得分为(40.52±10.58)分。 由于3个量表的评分标准不同,对其得分进行Z分 数标准化,以3个量表的标准化得分为外显指标, 共拟合5个模型,见表2。当类别数达到3时,熵值最 高,LMRT、BLRT具有统计学意义(P<0.001),AIC、BIC、 aBIC均较低,说明3个类别模型拟合结果可靠。类别1 (C1)在社交回避、社交焦虑和孤独感的得分最低, 故命名为低疏离组,共115例(42.59%)。类别2(C2) 在社交回避、社交焦虑和孤独感的得分均最高,其中 社交回避得分最高,故命名为高疏离-高社交回避 组,共38例(14.08%)。类别3(C3)在社交回避、社交 焦虑和孤独感的得分介于其他两组之间,其中社交 焦虑得分较高,接近C2得分,故将其命名为中等疏 离-高社交焦虑组,共117例(43.33%)。见图1。

## 2.3 结直肠癌患者社会疏离潜在类别的单因素分 析(表1)

## 2.4 结直肠癌患者社会疏离潜在类别的多元 Logistic回归分析

以社会疏离潜在类别为因变量,低疏离组为参 照组,将单因素分析中差异有统计学意义的一般资 料变量为自变量,进行多元Logistic回归分析。各变 量赋值如下。受教育程度:小学及以下=1,初中=2, 高中及中专=3,大专及以上=4。家庭居住地:农村= 1,城镇=2。工作状况:在职( $Z_1$ =1, $Z_2$ =0),退休( $Z_1$ =0,  $Z_2=1$ ), 无业( $Z_1=0$ ,  $Z_2=0$ )。家庭人均月收入(元):<  $1\ 000=1$ ;  $1\ 000\sim3\ 000=2$ ,  $3\ 001\sim5\ 000=3$ ,  $>5\ 000=4$ 医疗费用支付方式:城镇居民医保( $Z_1=1,Z_2=0$ ),职 工医保( $Z_{i=0}, Z_{i=1}$ ),新农合( $Z_{i=0}, Z_{i=0}$ )。造口情况: 永久性造口 $(Z_1=1,Z_2=0)$ ,临时性造口 $(Z_1=0,Z_2=1)$ , 无造口=( $Z_1$ =0, $Z_2$ =0)。肿瘤是否转移:否=0,是=1。心 理一致感得分、家庭亲密度得分、社会支持得分为原 值代人。多元Logistic回归分析结果见表3。

## 2.5 风险因素对结直肠癌患者社会疏离不同类别 的累积效应

对心理一致感、家庭亲密度、社会支持3个量表 的得分进行T分数转换(T=[(X-M)/SD]×10+50),< 50分认为存在风险计为1,否则计为0,相加后得到C1、 C2、C3的累积风险指数得分为(0.51±0.77)(2.76± 0.43)(1.89±1.06)分,3组之间差异有统计学意义 (F=122.899,P<0.001)。将社会疏离潜在类别设置为

表1 调查对象的一般资料及社会疏离潜在类别的单因素分析

Table 1 General information on respondents and univariate analysis of potential categories of social alienation

项目	总体(n=270)	C1(n=115)	C2(n=38)	C3(n=117)	检验统计量	Ρ值
年龄(岁)					1.7011)	0.427
<45	29(10.74)	9(7.83)	7(18.42)	13(11.11)		
45~	132(48.89)	64(55.65)	17(44.74)	51(43.59)		
>65	109(40.37)	42(36.52)	14(36.84)	53(45.30)		
性别					$2.214^{2)}$	0.331
男	164(60.74)	64(55.65)	24(63.16)	76(64.96)		
女	106(39.26)	51(44.35)	14(36.84)	41(35.04)		
婚姻状况					$0.356^{2)}$	0.837
已婚	251(93.96)	106(92.17)	35(92.11)	110(94.02)		
未婚、离异或丧偶	19(7.04)	9(7.83)	3(7.89)	7(5.98)		
受教育程度					$9.197^{1)}$	0.010
小学及以下	82(30.37)	29(25.22)	21(55.26)	32(27.35)		
初中	75(27.78)	39(33.91)	6(15.79)	30(25.64)		
高中及中专	76(28.15)	30(26.09)	9(23.68)	37(31.62)		
大专及以上	37(13.70)	17(14.78)	2(5.26)	18(15.38)		
家庭居住地					12.1212)	0.002
农村	132(48.89)	45(39.13)	27(71.05)	60(51.28)		
城镇	138(51.11)	70(60.87)	11(28.95)	57(48.72)		
工作状况	()	, , (, , , , , , , , , , , , , , , , ,	(,	(	17.3572)	0.002
在职	49(18.15)	28(24.35)	8(21.05)	13(11.11)		
退休	97(35.93)	41(35.65)	5(13.16)	51(43.59)		
<b>无业</b>	124(45.93)	46(40.00)	25(65.79)	53(45.30)		
家庭人均月收入(元)	12 ( 16176 )	10(10100)	20 (00.77)	25 (12120)	7.7331)	0.021
<1 000	47(17.41)	14(12.17)	11(28.95)	22(18.80)	,,,,,,	0.021
1 000~	88(32.59)	36(31.30)	14(36.84)	38(32.48)		
3 001~	76(28.15)	35(30.43)	8(21.05)	33(28.21)		
>5 000	59(21.85)	30(26.09)	5(13.16)	24(20.51)		
医疗费用支付方式	37(21.03)	30(20.07)	3(13.10)	21(20.31)	11.6522)	0.020
城镇居民医保	58(21.48)	23(20.00)	6(15.79)	29(24.79)	11.032	0.020
职工医保	95(35.19)	49(42.61)	7(18.42)	39(33.33)		
新农合	117(43.33)	43(37.39)	25(65.79)	49(41.88)		
疾病诊断	117(43.33)	43(31.39)	23(03.19)	49(41.00)	$0.253^{2)}$	0.881
直肠癌	122(45.18)	50(43.48)	18(47.37)	54(46.15)	0.233	0.001
生	148(54.81)	65(56.52)	20(52.63)	63(53.85)		
治疗方式	140(34.01)	03(30.32)	20(32.03)	03(33.63)	$7.227^{2)}$	0.124
手术	50(18.52)	25/21/74)	6(15.70)	10/16 24)	1.221	0.124
		25(21.74)	6(15.79)	19(16.24)		
仅放疗和(或)化疗 手术+放疗和(或)化疗	22(8.15)	4(3.48)	5(13.16)	13(11.11)		
	198(73.33)	86(74.78)	27(71.05)	85(72.65)	24 0292)	ر د ۱ ۱ ۱ ۱ ۱ ۱ ۱ ۱ ۱ ۱ ۱ ۱ ۱ ۱ ۱ ۱ ۱ ۱ ۱
造口情况	62(22.22)	24(20.97)	17(44.74)	22/19 90\	24.038 <sup>2)</sup>	< 0.001
永久造口	63(23.33)	24(20.87)	17(44.74)	22(18.80)		
临时造口 王华口	42(15.56)	12(10.43)	11(28.95)	19(16.24)		
无造口 肿瘤 具不禁我	165(61.11)	79(68.70)	10(26.32)	76(65.96)	EC 40 42)	.0.004
肿瘤是否转移	140/55 16	24/20.57	22/06/04	92/70.00	56.4242)	< 0.001
是	149(55.16)	34(29.57)	33(86.84)	82(70.09)		
否	121(44.81)	81(70.43)	5(13.16)	35(29.91)		

2502 Chin J Nurs, October 2025, Vol. 60, No. 20

续表1 调查对象的一般资料及社会疏离潜在类别的单因素分析

Table 1(Continued) General information on respondents and univariate analysis of potential categories of social alienation

项目	总体(n=270)	C1(n=115)	C2(n=38)	C3(n=117)	检验统计量	P 值
心理一致感得分(分, $\bar{x}\pm s$ )	59.35±15.59	69.86±11.35	40.79±15.25	55.04±11.04	99.6913)	< 0.001
家庭亲密度得分 $(分, \bar{x}\pm s)$	60.64±10.41	68.98±6.51	47.92±7.55	56.58±7.26	$164.518^{3)}$	< 0.001
社会支持得分(分, $\bar{x}\pm s$ )	42.30±8.80	47.30±6.68	31.39±7.29	40.93±7.29	$76.851^{3)}$	< 0.001

注:括号外数据为例数,括号内为百分比(%)。C1为低疏离组;C2为高疏离-高社交回避组;C3为中等疏离-高社交焦虑组。1)H值;2) $\chi^2$ 检验;3)F值。

表**2** 结直肠癌患者社会疏离潜在类别模型拟合指标(*n*=270)

Table 2 Indicators of model fit for potential categories of social alienation in colorectal cancer patients (n=270)

模型	AIC	BIC	aBIC	熵值	LMRT(P值)	BLRT(P值)	类别概率
1	2 307.675	2 329.265	2 310.241	_	_	_	_
2	1 990.657	2 026.641	1 994.934	0.853	< 0.001	< 0.001	0.537/0.463
3	1 835.326	1 885.704	1 841.315	0.917	< 0.001	< 0.001	0.426/0.141/0.433
4	1 819.608	1 884.379	1 827.307	0.724	< 0.001	< 0.001	0.337/0.426/0.096/0.141
5	1 807.817	1 886.983	1 817.228	0.872	0.177	< 0.001	0.319/0.029/0.093/0.422/0.144

注:AIC为艾凯克信息准则,BIC为贝叶斯信息准则,aBIC为样本校正的贝叶斯信息准则,LMRT为罗-梦戴尔-鲁本校正似然比检验,BLRT为基于Bootstrap的似然比检验。

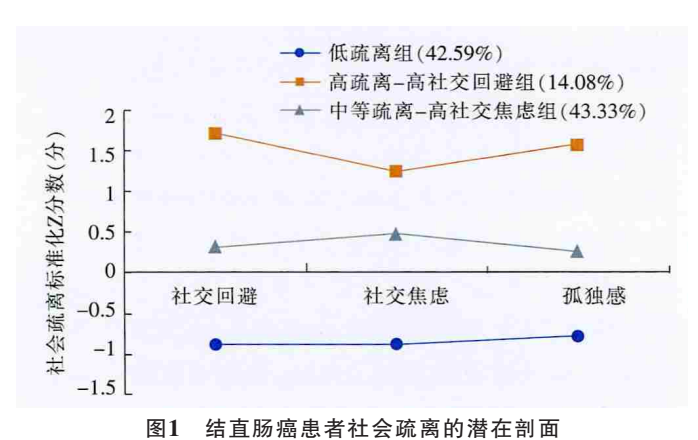


图 1 结直肠烟患有红云顺高的潜住时间 Figure 1 Potential profiles of social alienation in

colorectal cancer patients

因变量(低疏离组为参照组),累积风险指数为自变量,控制单因素分析中差异有统计学意义的一般资料变量,进行多元Logistic回归分析,见表4。

#### 3 讨论

#### 3.1 结直肠癌患者的社会疏离存在群体异质性

本研究通过潜在剖面分析识别出结直肠癌患者 社会疏离的3个潜在类别,且各潜在类别间存在明显 异质性。低疏离组占比42.59%,该组的心理状况及 社会适应情况较好,社会疏离程度较低。建议医护 人员充分发挥此类患者优势,鼓励其成为同伴教育 者,协助促进其他类别患者更好地融入社会。高疏 离-高社交回避组占比14.08%, 其社会疏离水平较 高,在社交活动中倾向于退缩和回避,可能与本研 究中该类患者发生转移者占比高有关,患者对治疗 和预后持悲观态度,对人际交往失去兴趣。医护人员 应重点关注此类患者,可开展意义疗法[13]帮助其积 极寻求和维持生命意义感,保持对社交活动的兴趣, 降低社会疏离水平。中等疏离-高社交焦虑组占比 43.33%,其社会疏离总体处于中等水平,其社交焦 虑得分偏高,接近高疏离-高社交回避组,可能与本 研究中该类患者居住在农村、临时或永久性造口者 占比高有关,受传统观念影响,患者在人际交往中易 出现焦虑、紧张等负性情绪,导致发生社会疏离[4]。 针对此类患者,可通过多种形式进行相关知识的科 普宣传,树立其对疾病的科学认知,促进社会融入。

## 3.2 结直肠癌患者社会疏离潜在类别的影响因素 较多

3.2.1 退休的结直肠癌患者更易归为低疏离组,发生转移、永久性造口的结直肠癌患者更易归为中等疏离-高社交焦虑组和(或)高疏离-高社交回避组

表3 结直肠癌患者社会疏离潜在类别的多元Logistic回归分析(n=270)

Table 3 Multiple Logistic regression analysis of potential categories of social alienation in patients with colorectal cancer (n=270)

项目	高疏离-高社交回避组							
次日	回归系数	标准误	Wald $\chi^2$ 值	OR 值	95% <i>CI</i>	P 值		
常数项	25.034	4.286	34.108	_	_	< 0.001		
工作状况(退休)	-3.175	1.485	4.573	0.042	0.002~0.767	0.032		
造口情况(永久	2.361	0.895	6.952	10.600	1.833~61.300	0.008		
性造口)								
是否转移(是)	2.554	0.880	8.419	12.858	2.290~72.176	0.004		
心理一致感得分	-0.083	0.035	5.737	0.921	0.860~0.985	0.017		
家庭亲密度得分	-0.306	0.065	22.486	0.736	0.649~0.836	< 0.001		
社会支持得分	-0.182	0.064	8.006	0.834	0.735~0.946	0.005		
项目 -	中等疏离-高社交焦虑组							
	回归系数	标准误	Wald χ² 值	OR 值	95%CI	P 值		
常数项	17.089	2.862	35.655	_	_	< 0.001		
是否转移(是)	1.588	0.455	12.180	4.894	2.006~11.939	< 0.001		
心理一致感得分	-0.052	0.023	5.264	0.949	0.908~0.992	0.022		
家庭亲密度得分	-0.225	0.043	27.615	0.799	0.734~0.869	< 0.001		
社会支持得分	-0.010	0.038	0.072	0.990	0.920~1.066	0.789		

注:以低疏离组为参照。

本研究结果显示,与高疏离-高社交回避组相 比,工作状况为退休的患者归属于低疏离组的概率 更大,与王硕[8]对乳腺癌患者的研究结果相似。分析 原因可能是退休患者已通过兴趣爱好、社区活动等 建立了替代性社交网络,且退休患者通常有养老金 或储蓄,经济压力较小,更有能力维持社交参与。与 低疏离组相比,发生转移的患者更易归为中等疏 离-高社交焦虑组和高疏离-高社交回避组,与Liu 等[5]的研究结果一致。分析原因可能是发生转移的 患者,情绪较为消极,且身体机能不断下降,丧失了 参与活动与社交的基本身体条件[14]。医护人员应密 切关注已发生转移的结直肠患者,可采用安心茶话 屋[15]等形式对患者开展死亡教育,缓解其负性情绪 和不适症状,提高生活质量。与低疏离组相比,永久 性造口的结直肠癌患者更易归为高疏离-高社交回 避组,与王芬等[6]研究结果存在差异。分析原因可能 是永久性造口的患者需时刻面对粪便排出、造口袋 渗漏以及刺激性皮炎、造口旁疝等并发症问题,给工 作、生活带来诸多不便,从而选择回避社交活动,导 致社会疏离[16]。医护人员可利用在线平台为患者提 供造口护理知识及技能培训, 并定期评估患者的学 习进度和技能掌握情况,不断优 化健康教育策略和内容,提高患 者的造口接受度,促进其更好地 回归社会[17]。

3.2.2 心理一致感、家庭亲密度、 社会支持得分低的结直肠癌患者 更易归为中等疏离-高社交焦虑 组和(或)高疏离-高社交回避组

本研究结果显示,与低疏离 组相比,心理一致感得分低的结 直肠癌患者更易归为中等疏离-高社交焦虑组和高疏离-高社交回 避组,与既往研究[18]结果相似。低 心理一致感不利于患者对自身可 利用资源及生活意义的感知,使 其可能会因恐惧"失控"而自我隔 离,且对社交的主观能动性下降, 易导致社会疏离的发生[18]。医护 人员可通过正念减压疗法、生命回 顾疗法等,帮助患者重新进行自 我定位和接纳,提高其心理一致

感水平[19]。本研究结果显示,与低疏离组相比,家庭 亲密度得分低的结直肠癌患者更易归为中等疏离-高社交焦虑组和高疏离-高社交回避组。有研究[20] 指出,家庭成员对患者的漠视及不和谐的家庭关系 会损害患者的自尊心,加重其病耻感,造成患者对社 会的退缩和疏远。医护人员可考虑以家庭为中心的 干预措施,如夫妻二元应对、家庭赋权、多家庭小组会 议等[21],提升患者的家庭关怀度,让患者获得更多来 自家庭成员的情感支持和价值肯定。与低疏离组相 比,社会支持得分低的结直肠癌患者更易归为高疏 离-高社交回避组。社会支持水平较低的患者难以 感受到被尊重、接受和理解,导致其在人际交往采取 自我封闭、拒绝的态度[22]。医护人员应重视结直肠癌 患者的社会支持状况,完善社会支持体系,可采用 以社区为基础的多元群体抗癌模式[23]搭建患者与 社会沟通的桥梁,通过定期开展康复经验分享、团体 活动、志愿服务等,增加与外界的接触,增强患者的 社会功能和角色功能。

## 3.3 心理一致感、家庭亲密度和社会支持对结直肠 癌患者社会疏离不同类别的影响存在累积效应

本研究结果显示,与低疏离组比较,累积风险指

表4 社会疏离潜在类别累积风险的多元Logistic回归分析(n=270) Table 4 Multiple Logistic regression analyses of cumulative risk of potential categories of social alienation (n=270)

项目	高疏离-高社交回避组						
——————————————————————————————————————	回归系数	标准误	Wald χ² 值	OR 值(95%CI)	P 值		
常数项1)	-6.181	0.975	40.160	_	< 0.001		
累积风险指数1)	2.814	0.388	52.554	16.681(7.794~35.699)	< 0.001		
常数项2)	-13.462	2.631	26.185	_	< 0.001		
累积风险指数2)	3.592	0.544	43.682	36.314(12.515~105.370)	< 0.001		
项目	中等疏离-高社交焦虑组						
	回归系数	标准误	Wald χ² 値	直 OR 值(95%CI)	<i>P</i> 值		
常数项1)	-1.541	0.244	39.936	_	< 0.001		
累积风险指数1)	1.367	0.172	63.180	3.922(2.800~5.493)	< 0.001		
常数项2)	-3.340	1.066	9.816	_	0.002		
累积风险指数2)	1.645	0.237	48.219	5.180(3.256~8.240)	< 0.001		

1)未调整;2)控制单因素分析中差异有统计学意义的一般资料变量。

数得分高的患者归属到中等疏离-高社交焦虑组和 高疏离-高社交回避组的概率更大,在控制一般资 料变量后结果相似,支持了累积风险假说[24],即患者 面临的风险因素越多,发生社会疏离的风险越大、程 度越重。生态系统理论[25]指出,个体的心理发展是多 重生态系统和个体交互作用的结果,结直肠癌患者 在回归社会的过程中同时受到自身、家庭、社会等多 个生态子系统的影响,各子系统中可能潜藏着导致 患者社会疏离的风险因素,如自身应对压力的能力、 家庭关怀度、社会支持状况等,不同风险因素并非独 立起作用而是具有较强的共线性,面临的风险因素 越多,对其心理社会功能的消极影响越大,探究累积 风险的作用更贴合实际生活[24]。这提示医护人员在 对患者社会疏离识别和干预的过程中要注意,除关 注单个风险因素之外,还应重点关注存在多个风险 因素的患者,既要有所侧重,又要兼顾,重视多因素 的协同累积作用,尽量采取可同时改善多个风险因 素的干预方案。

#### 4 小结

本研究结果显示,结直肠癌患者社会疏离存在 群体异质性。医护人员应识别不同患者的特征差异, 关注存在多个风险因素的患者,制订针对性的护理 干预措施,以降低其社会疏离水平,提高生活质量。 由于本研究为横断面调查,无法对变量间的因果关 系进行推断,且调查的风险因 素数目有限,未来可开展多中 心、大样本调查,纳入其他相 关风险因素,并探讨不同风险 因素组合的干预优先级,为降 低结直肠癌患者的社会疏离制 订针对性干预方案提供参考。

利益冲突 所有作者声明无利益冲突 作者贡献声明 杨晓霞:研究选题、文献 检索、研究设计、实施研究、分析数据、撰 写论文:于子夫、王芳、侯亚丽、朱礼敬: 实施研究、收集资料、统计分析; 吕利明: 科研指导、论文修改

#### 参考文献

- [1] Morgan E, Arnold M, Gini A, et al. Global burden of colorectal cancer
- in 2020 and 2040; incidence and mortality estimates from GLO-BOCAN[J]. Gut, 2023, 72(2): 338-344.
- [2] Vlaski T, Slavic M, Caspari R, et al. From a clustering of adverse symptoms after colorectal cancer therapy to chronic fatigue and low ability to work; a cohort study analysis with 3 months of follow-up[J]. Cancers, 2024, 16(1):202.
- [3] Fujita Y, Hida K, Sakamoto T, et al. Employment status of patients with colorectal cancer after surgery:a multicenter prospective cohort study in Japan[J]. Dis Colon Rectum, 2023, 66(12): e1207-e1216
- [4] 董朝晖,卢惠娟,陆箴琦,等.癌症患者社会疏离体验的质性研 究[J]. 中华护理杂志,2023,58(6):670-675. Dong ZH, Lu HJ, Lu ZQ, et al. Experiences of social isolation in cancer patients:a qualitative research[J]. Chin J Nurs, 2023, 58(6):670-675.
- [5] Liu X, Wen S, Wu DD. The mediating roles of family care and self-efficacy between stigma and social alienation among colorectal cancer survivors [J]. Sci Rep, 2025, 15(1): 15312.
- [6] 王芬,于海燕,张淑娟,等.肠造口患者社会疏离感现状及影响 因素研究[J]. 护理学杂志,2022,37(14):40-43. Wang F, Yu HY, Zhang SJ, et al. Social isolation and influencing factors among colorectal cancer patients with an ostomy [J]. J Nurs Sci, 2022, 37(14): 40-43.
- [7] 倪平,陈京立,刘娜. 护理研究中量性研究的样本量估计[J]. 中 华护理杂志,2010,45(4):378-380. Ni P, Chen JL, Liu N. The sample size estimation in quantitative nursing research[J]. Chin J Nurs, 2010, 45(4): 378-380.
- [8] 王硕. 乳腺癌幸存者社会疏离与病耻感、应对方式的关系研究 [D]. 济南:山东中医药大学,2020. Wang S. Study on the relationship between social alienation,

1999.

- stigma and coping style of breast cancer survivors[D]. Jinan: Shandong University of Traditional Chinese Medicine, 2020.
- [9] 汪向东,王希林,马弘.心理卫生评定量表手册(增订版)[M]. 北京:中国心理卫生杂志社,1999. Wang XD, Wang XL, Ma H. Rating scales for mental health (updated edition) [M]. Beijing: Chinese Mental Health Journal.
- [10] 包蕾萍,刘俊升,周颖,心理一致感量表(SOC-13)的信、效度初 步研究[J]. 中国心理卫生杂志,2006,20(5):299-301. Bao LP, Liu JS, Zhou Y. Reliability and validity of Sense of Coherence-13 (SOC-13) [J]. Chin Ment Health J, 2006, 20(5): 299-301.
- [11] 费立鹏,沈其杰,郑延平,等."家庭亲密度和适应性量表"和 "家庭环境量表"的初步评价:正常家庭与精神分裂症家庭成 员对照研究[J]. 中国心理卫生杂志,1991,5(5):198-202,238. Fei LP, Shen QJ, Zheng YP, et al. Preliminary evaluation of Chinese version of FACES II and FES: comparison of normal families and families of schizophrenic patients [J]. Chin Ment Health J, 1991, 5(5): 198-202, 238.
- [12] 肖水源.《社会支持评定量表》的理论基础与研究应用[J]. 临 床精神医学杂志,1994,4(2):98-100. Xiao SY. Theoretical basis and research application of Social Support Rating Scale[J]. J Clin Psychiatry, 1994, 4(2):98-100.
- Marco JH, Llombart P, Romero R, et al. Meaning-centered psychotherapy versus cognitive behavioral therapy for cancer survivors: a randomized controlled trial[J]. Behav Ther, 2024, 55(5):1071-1083.
- [14] 秦晓红,张连杰,殷晴,等.结直肠癌患者运动干预方案的构建 及应用研究[J]. 中华护理杂志,2025,60(8):901-907. Qin XH, Zhang LJ, Yin Q, et al. Construction and application of an exercise intervention scheme for patients with colorectal cancer[J]. Chin J Nurs, 2025, 60(8):901-907.
- [15] 美华慈心关怀联盟.安心茶话屋[EB/OL]. (2014-06-29)[2024-12-28]. http://www.caccc-usa.org/ch/activities/heart2heart.html. Chinese American Coalition for Compassionate Care. Heart to heart café [EB/OL]. (2014-06-29) [2024-12-28]. http://www.caccc-usa.org/ch/ activities/heart2heart.html.
- [16] 杨阳,刘美,熊沫,等.中青年肠造口患者及其主要照护者护理 依赖二元应对体验的质性研究[J]. 中华护理杂志,2025,60(4): 389-395.
  - Yang Y, Liu M, Xiong M, et al. A qualitative study on the

- dual coping experience of nursing dependence among middleaged and young patients with enterostomy and their primary caregivers [J]. Chin J Nurs, 2025, 60(4):389-395.
- [17] Denti FC, Guerra E, Caroppo F, et al. Exploring the impact of a structured educational approach on peristomal skin complications: an interim analysis [J]. Healthcare, 2024, 12(18): 1805.
- [18] Liu Q,Ge R,Zhu Y,et al. The potential characteristics of the sense of coherence in cancer radiotherapy patients and its correlation with coping strategies[J]. Support Care Cancer, 2024, 32(11):755.
- [19] Gu ZH, Li B, OuYang L, et al. A study on improving cancerrelated fatigue and disease-related psychological variables in patients with cervical cancer based on online mindfulnessbased stress reduction; a randomized controlled trial[J]. BMC Womens Health, 2024, 24(1):525.
- [20] 何丽芳,李倩倩,甘香.病耻感对中青年维持性血液透析患者 心理痛苦的影响[J]. 中华护理杂志,2022,57(21):2585-2591. He LF, Li QQ, Gan X. Influence of stigma on psychological distress among young and middle-aged maintenance hemodialysis patients[J]. Chin J Nurs, 2022, 57(21): 2585-2591.
- [21] Saleem S, Baig A, Sajun SN, et al. A mixed methods exploration of the role of multi-family groups in community treatment of patients with depression and anxiety in Pakistan[J]. Int J Ment Health Syst, 2021, 15(1):78.
- [22] Gao ZR, Li SY, Bai XH. Social alienation and related factors in patients with head and neck tumors undergoing radiotherapy:a cross-sectional study[J]. BMC Nurs, 2025, 24(1):275.
- [23] 王林凤,周小红,金淑芳.社区多元群体抗癌模式对康复期癌 症患者心理及生活质量的影响[J]. 解放军护理杂志,2018,35 (10):41-44.Wang LF, Zhou XH, Jin SF. Effect of community multi-group
  - anticancer model on the psychological status and quality of life of cancer patients in rehabilitation stage [J]. Nurs J Chin PLA, 2018, 35(10):41-44.
- [24] Evans GW, Li DP, Whipple SS. Cumulative risk and child development[J]. Psychol Bull, 2013, 139(6):1342-1396.
- Bronfenbrenner U. The ecology of human development: experiments by nature and design[M]. Cambridge: Cambridge University Press, 1979.

(本文编辑 黄恒吉)

# 欢迎关注 中华护理杂志社微信公众平台

